

УДК 621.385.001

Е.Д. Белявский, д-р физ.-мат. наук, Т.А. Саурова

Оптимизация погонного усиления АЛБВ-Н с большим фокусирующим магнитным полем и с переменной фазовой скоростью

Рассматривается возможность повышения погонного усиления в автофазной ЛБВ при помощи оптимального профилирования фазовой скорости в замедляющей системе при предельно возможных значениях электронного КПД. Оптимизация погонного усиления проведена в рамках приближенной аналитической нелинейной теории с использованием вариационного метода.

The possibility of increasing of the distributed gain in the auto-phase traveling wave tube by means of the optimal phase velocity profiling in the slow-wave circuit under the most available efficiency values is investigated. Optimization of the distributed gain is performed within the frames of the simplified analytical nonlinear theory using variation method.

Введение

В [1] предложена автофазная лампа бегущей волны с азимутально-несимметричной волной (АЛБВ-Н) и с большим фокусирующим магнитным полем, таким, что $\omega_c \gg 2\omega$, где ω_c – циклотронная частота, ω – круговая частота сигнала, и сформулирована ее строгая нелинейная теория. Проведенный в [1] численный анализ усиления такой ЛБВ показал возможность повышения коэффициента ее усиления до 30 дБ в однокаскадном и до 50–60 дБ в двухкаскадном исполнении при значениях электронного КПД порядка 80%. В [2] предложен группирователь для такой АЛБВ-Н со 100% захватом электронов в сгустки, а в [3] построена теория и проведен численный анализ АЛБВ-Н с указанным группирователем, в котором получен электронный КПД более 96%. Основным недостатком такой АЛБВ-Н является низкий погонный коэффициент усиления из-за большой длины автофазного участка прибора.

В данной работе на основе упрощенной нелинейной теории захвата сгустков в АЛБВ-Н [4] проводится оптимизация погонного коэффициента усиления и сравнение полученных результатов с результатами расчета по строгой теории.

1. Исходные положения

В [4] были получены упрощенные уравнения АЛБВ-Н на автофазном участке:

$$\frac{d^2 X}{dt^2} + \eta h_0 \operatorname{Re} \left(-j \dot{E} e^{iX} \right) = \eta h_0 \frac{d}{dz} \left(\frac{\left(\omega - n \dot{\Theta} \right)^2}{2 \eta h_0^2} \right) = -\eta h_0 E_3, \quad (1)$$

$$E^2 - E_0^2 + 2\alpha \int_0^z E^2 dz = 2R I_0 \int_0^z E_3 dz, \quad (2)$$

где t – текущее время,

$$X = \omega t - n\theta - \int_0^z h_0 dz,$$

θ, z, r – цилиндрические координаты электрона,

\dot{E} – комплексная амплитуда z - составляющей электрического поля синхронной волны; n – номер азимутального вида колебаний в замедляющей системе (ЗС);

$\dot{\Theta}$ – азимутальная скорость электронов;

$\eta = \frac{e}{m_0}$ – отношение заряда электрона к его массе покоя;

$h_0 = \frac{\omega}{v_{\phi n}}$, $v_{\phi n}$ – фазовая скорость n -й бегущей волны

$E = | \dot{E} |$, $E_0 = E(0)$ – начальное (на входе при $z=0$) значение $E(z)$;

значение $E(z)$;

$R = \frac{E^2}{2P} = \frac{E_0^2}{2P_{ex}} = const$ – параметр связи замедляющей системы,

P – ВЧ мощность, проходящая через поперечное сечение волновода;

$P_{ex} = P(0)$; I_0 – продольный ток невозмущенного потока;

$E_3 = -\frac{d}{dz} \left[\frac{\left(\omega - n \dot{\Theta} \right)^2}{2 \eta h_0^2} \right]$ – эквивалентное статическое поле;

α – параметр распределенных потерь в ЗС (в непер/метр).

При полной экранировке катода от магнитного поля $\dot{\theta} = \eta B / 2 = \frac{\omega_c}{2}$, где B – продольная составляющая магнитной индукции статического фокусирующего поля.

Если положить

$$X = X_0 - \arg \dot{E} + q \sin \Omega t + \dots, \quad (3)$$

то для определения q, Ω, X_0 получаем из (1) такую систему уравнений

$$\Omega^2 q = 2\eta h_0 J_1(q) E \cos X_0 \quad (4)$$

$$E_3 = E J_0(q) \sin X_0, \quad (5)$$

Здесь $X_0(z)$ – фазовая координата центра осциллятора по отношению к бегущей волне; $q(z)$ – наибольшая амплитуда осцилляторов в точке z ($2q = \Delta$ – фазовая ширина сгустка), $q_0 = q(0)$, $\Omega(z)$ – круговая частота осциллятора, $\Omega_0 = \Omega(0)$; $J_k(q)$ – функция Бесселя k -го порядка ($k=0,1$).

Уравнения (4), (5) получены в предположении, что величины $\Omega, q, E, h_0, X_0, E_3$ являются адиабатическими (т.е. не изменяются за период колебаний осциллятора). Условие адиабатической инвариантности имеет вид:

$$q^2 \Omega = q_0^2 \Omega_0 = \nu, \quad (6)$$

где $\nu = \text{const}$ – адиабатический инвариант [5].

Все электроны в сгустке являются осцилляторами при выполнении неравенства

$$\frac{|E_3|}{E} \langle J_0(q) \rangle. \quad (7)$$

Соотношения (2) – (7) и являются исходными для дальнейшего рассмотрения.

2. Переход к безразмерным параметрам

В теории автофазной ЛБВ используются следующие безразмерные переменные [1]:

$$b = \frac{h_0 - \beta_e}{C\beta_e} \text{ – параметр несинхронности;}$$

$$(\beta_e = \frac{\omega}{v_e}, v_e = \sqrt{2\eta U_0}, U_0 \text{ – ускоряющее напряжение;})$$

$$b1 = b + g/C;$$

$$C = \left[\frac{I_0 R_n}{4U_0 \beta_e^2} \right]^{1/3} \text{ – параметр усиления;}$$

$$g = \frac{\eta B}{2\omega} = \frac{\omega_c}{2\omega} \text{ – параметр магнитного поля;}$$

$$x = C\beta_e z \text{ – безразмерная длина;}$$

$$d = \frac{\alpha}{C\beta_e} \text{ – параметр затухания;}$$

\dot{F} – безразмерная амплитуда синхронной волны в ЗС;

$$F = \left| \dot{F} \right| = \frac{\eta}{\omega v_e C^2} E; \quad F_3 = -\frac{d}{dx} \left[\frac{1}{2C} \left(\frac{1-g}{1+Cb} \right)^2 \right] -$$

безразмерное значение эквивалентного статического поля.

Уравнения (2) – (7) принимают в безразмерных переменных следующий вид:

$$F^2 - F_0^2 + 2d \int_0^x F^2 dx = 4 \int_0^x F_3 dx, \quad (8)$$

$$X = X_0 - \arg \dot{F} + q \sin \Omega_1 \omega t + \dots, \quad (9)$$

где $\Omega_1 = \Omega/\omega$,

$$\Omega_1^2 q = 2C^2 (1+Cb) F J_1(q) \cos X_0, \quad (10)$$

$$F_3 = F J_0(q) \sin X_0, \quad (11)$$

$$q^2 \Omega_1 = q_0^2 \Omega_1(0), \quad (12)$$

$$\frac{|F_3|}{F} \langle J_0(q) \rangle. \quad (13)$$

3. Оптимизация погонного усиления

$$\text{Подставляя в (8) } F_3 = -\frac{d}{dx} \left[\frac{1}{2C} \left(\frac{1-g}{1+Cb} \right)^2 \right],$$

получаем при $d=0$

$$\eta_e = \frac{C}{2} (F^2 - F_0^2) = \left(\frac{1-g}{1+Cb_0} \right)^2 - \left(\frac{1-g}{1+Cb} \right)^2, \quad (14)$$

где η_e – электронный КПД на автофазном участке ($g=\text{const}$), F_0, b_0 – модуль безразмерной комплексной амплитуды поля и параметр несинхронности на входе в автофазную секцию.

Из (14) следует, что

$$(1+Cb)^2 = \frac{1}{(1-g)^2} \left[\frac{(1-g)^2}{(1+Cb_0)^2} - \frac{C}{2} (F^2 - F_0^2) \right]^{-1}, \quad (15)$$

т.е. $(1+Cb)$ является функцией только от F .

Автофазная ЛБВ-Н с переменной фазовой скоростью является усилителем бегущей волны, поэтому задача оптимизации ее погонного усиления состоит в поиске такой зависимости фазовой скорости волны (т.е. параметра несинхронности $b(x)$), для которой длина ее автофазного участка x_L является минимальной при заданном усилении прибора.

Будем искать оптимальный закон измерения $b(x)$ среди зависимостей, для которых $F(x)$ является монотонно меняющейся функцией. При этом в качестве функционала удобно выбрать безразмерную длину x_L при заданном усилении (т.е. изменении $F(x)$ от F_0 до F_{max}).

Продифференцируем уравнение (8) (при $d=0$) по x

$$F \frac{dF}{dx} = 2F\varepsilon, \text{ откуда } \frac{dx}{dF} = \frac{1}{2F_3/F}, \quad (16)$$

Интегрируя (16) по F в пределах от F_0 до F_{max} , получаем

$$x_L = \int_{F_0}^{F_L} \frac{dF}{2F_3/F}. \quad (17)$$

Исключая из (17), (10), (11) и (12) F_3 и Ω_1 , приводим с учетом (15) вариационную задачу к следующему виду:

$$x_L = \int_{F_0}^{F_L} \frac{dF}{2J_0(q) \sin X_0}, \quad (18)$$

$$F[1 + Cb(F)]q^3 J_1(q) \cos X_0 = v, \quad (19)$$

где $v = F_0(1 + Cb_0)q_0^3 J_1(q_0) \cos X_0(0) = const$ – адиабатический инвариант [5], зависящий от начальных значений величин q , F , b , X_0 на входе в автофазный участок ($x=0$)

Вариационная задача (18), (19) является одномерной, с независимой переменной F и двумя искомыми функциями $q(F)$, $X_0(F)$, причем уравнение (19) является алгебраической связью между величинами q , X_0 , т.е. имеет место задача на условный экстремум [6]. Следуя общему правилу (метод неопределенных множителей Лагранжа), составим вспомогательный функционал

$$J_h = \int_{F_0}^{F_{max}} \left\{ \frac{1}{2J_0(q) \sin X_0} + p(F) \times \right. \\ \left. \times (F(1 + Cb)q^3 J_1(q) \cos X_0 - v) \right\} dF, \quad (20)$$

где $p(F)$ – вспомогательная функция (множитель Лагранжа).

Уравнения Эйлера для функционала (20) имеют следующий вид:

$$- [2J_0(q) \sin X_0]^{-2} 2J'_0(q) \sin X_0 + p(F) \times \\ \times F[1 + Cb(F)] [q^3 J_1(q)]' \cos X_0 = 0, \quad (21)$$

$$- [2J_0(q) \sin X_0]^{-2} 2J_0(q) \cos X_0 - p(F) \times \\ \times F[1 + Cb(F)] q^3 J_1(q) \sin X_0 = 0. \quad (22)$$

Здесь везде штрих обозначает дифференцирование по q . Исключая из (21) и (22) $p(F)$ получаем

$$[\ln J_0(q)]' \operatorname{tg}^2 X_0 = - [\ln q^3 J_1(q)]'.$$

Учитывая, что

$$J'_0(q) = -J_1(q); J'_1(q) = J_0(q) - J_1(q)/q,$$

представим эту зависимость в следующем виде:

$$\operatorname{tg}^2 X_0 = \frac{J_0^2(q)}{J_1^2(q)} + \frac{2J_0(q)}{qJ_1(q)}. \quad (23)$$

Из (19) с учетом (23) и (15) получаем

$$F \frac{1}{|1-g|} \left[\frac{(1-g)^2}{(1+Cb_0)^2} - \frac{C}{2}(F^2 - F_0^2) \right]^{-1/2} = \\ = v \frac{1}{q^3 J_1(q)} \left[1 + \frac{2J_0(q)}{qJ_1(q)} + \frac{J_0^2(q)}{J_1^2(q)} \right]^{1/2}. \quad (24)$$

Из соотношения (16) с учетом (11) ($x(F_0)=0$), получаем соотношение для безразмерной координаты x

$$x(q) = \int_{q_0}^q \frac{F'(q) dq}{2J_0(q) \sin X_0(q)}. \quad (25)$$

Соотношения (14), (15), (23), (24), (25) и представляют собой решение вариационной задачи в параметрической форме.

4. Анализ оптимального исследования

На основании (14), (15), (23), (24), (25), путем расчета выражений с использованием математического пакета MatLab, получены зависимости, позволяющие оптимизировать погонное усиление на автофазном участке ЛБВ (рис. 1-5).

На рис.1 приведен график зависимости положения сгустка относительно тормозящего полупериода электромагнитной волны ($\operatorname{tg}^2 X_0$) от полуширины фазового сгустка (q). Из этого рисунка видно, что $\operatorname{tg}^2 X_0$ является монотонно убывающей функцией от q , т.е. по мере уменьшения фазовой ширины сгустка ($\Delta = 2q$) центр

пакета осцилляторов смещается в сторону максимума тормозящего поля волны ($\text{tg}^2 X_0 \rightarrow \infty$ при $\Delta \rightarrow 0$). То, из решения вариационной задачи следует, что смещение сгустка в сторону максимума тормозящего поля одновременно сопровождается уменьшением его фазовой ширины.

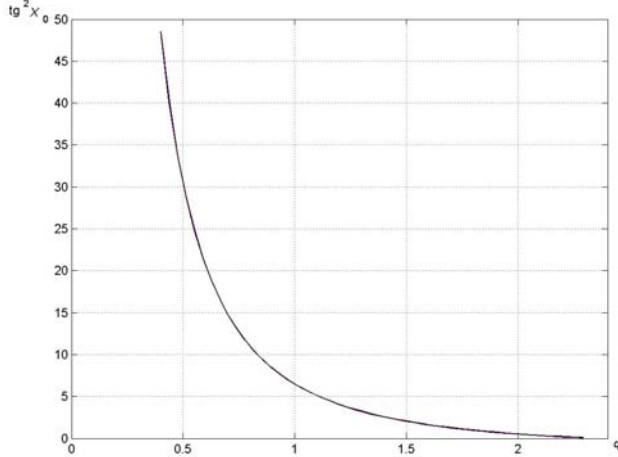


Рис. 1. Зависимость $\text{tg}^2 X_0$ от q

На рис. 2 представлены графики зависимостей $F(q)$ и $F_3(q)$ для различных значений полуширины фазового сгустка на входе в автофазный участок (параметра q_0). Из этого рисунка видно, что характер изменения амплитуды волны $F(q)$ и эквивалентного поля $F_3(q)$ во всех случаях является монотонным, однако различен для разных значений параметра q_0 , причем по мере увеличения амплитуды бегущей волны $F(q)$ фазовая ширина сгустка $\Delta = 2q$ монотонно уменьшается, т.е. пакет осцилляторов сжимается.

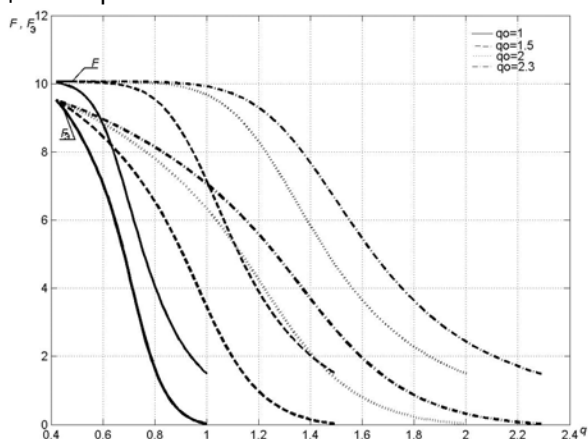


Рис. 2. Графики зависимостей безразмерных амплитуд бегущей волны F и эквивалентного статического поля F_3 от q для различных значений q_0

Примечательным фактом представленной зависимости является то, что со сжатием пакета осцилляторов (уменьшением q) амплитуда бегущей волны F стремится к значению, рав-

ному амплитуде статического поля, т.е. отношению $\frac{F_3}{F}$ стремится к своему предельному значению, равному единице.

Таким образом, смещение центра сгустка электронов в сторону максимума тормозящего ВЧ поля волны происходит с одновременным уменьшением его фазовой ширины, что улучшает энергообмен волны и пучка на автофазном участке.

Полученное решение вариационной задачи определяет оптимальный закон изменения параметра несинхронности $b(x)$ для различных значений полуширины электронного сгустка на входе в пространство взаимодействия автофазной секции.

Графики оптимизированного закона изменения параметра несинхронности b вдоль длины взаимодействия x для различных значений полуширины сгустка на входе в автофазный участок представлены на рис. 3. При этом значения безразмерных параметров: $C=0,02$; $F_0=1,5$; $b_0=-100,2$; значения $q_0=1$; 1,5; 2; 2,3. Из рис. 3 следует, что увеличению ширины сгустка $2q_0$ на входе в автофазный участок соответствует существенное повышение длины x , даже при оптимальном изменении параметра несинхронности; при этом указанная длина значительно меньше, чем при отсутствии профилирования фазовой скорости. Последнее утверждение показывает сравнение оптимального расчета с результатами строгой теории из работы [3], в которой полуширина сгустка была неизменной ($q_0=1,5$, длина насыщения уменьшилась в результате оптимизации с 22 до 6,7).

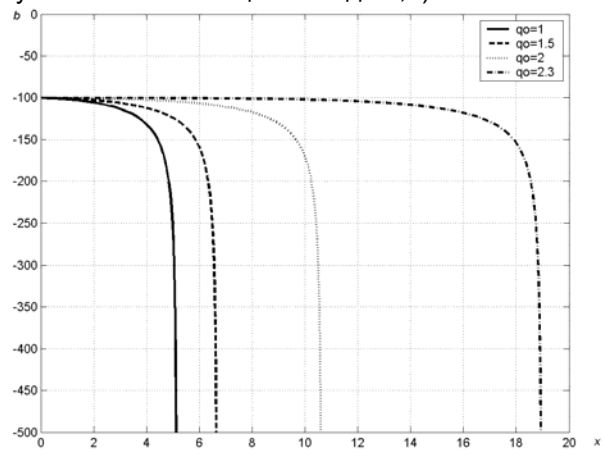


Рис. 3. Зависимости параметра несинхронности b от безразмерной длины x при различных значениях q_0 (1; 1,5; 2; 2,3)

Рис. 4 иллюстрирует зависимость безразмерной амплитуды бегущей волны F вдоль длины автофазного участка x для различных значений q_0 (1; 1,5; 2; 2,3) и при изменении параметра

несинхронности вдоль участка, соответствующего рис. 3. Из рис. 4 видно, что крутизна нарастания оптимизированной при помощи изменения по длине автофазного участка параметра несинхронности $b(x)$ величины F уменьшается с увеличением начальной ширины сгустка ($2q_0$), особенно при $q_0 > 1$. Это связано с тем, что при большой ширине сгустка для обеспечения его устойчивости необходимо сильно смещать его центр по отношению к максимуму тормозящего полупериода бегущей волны, резко уменьшая тем самым эффективность взаимодействия. По мере увеличения F фазовая ширина сгустка уменьшается и появляется возможность смещения его в сторону максимума тормозящего ВЧ поля без нарушения устойчивости, что приводит к увеличению эффективности взаимодействия.

Особенно заметным становится прирост погонного коэффициента усиления за счет профилирования параметра несинхронности при больших величинах q_0 . В этом легко убедиться, если провести на рис. 4 касательные к кривым в начале координат (касательные описывают закон увеличения F при постоянном параметре b по всей длине автофазного участка).

Из представленного на рис. 4 графика видно, что при $q_0=1$ усиление на автофазном участке (отношение F/F_0) для оптимизированной с помощью профилирования фазовой скорости зависимости $F(x)$ достигается при длине x , соизмеримой с соответствующей (касательная в начале координат) режиму с постоянным параметром несинхронности. Для зависимости $F(x)$ же при $q_0=1,5$ длина автофазной секции x после оптимизации сокращается с 12,2 до 6,7, т.е. почти в 2 раза. Из этого можно заключить, что существенное увеличение погонного усиления достигается для больших значений q_0 . Полученный результат важен для практической реализации описываемого режима преобразования энергии в АЛБВ. КПД такой ЛБВ существенно зависит от числа захваченных электронов в сгустке по сравнению со всеми электронами, вылетевшими из катода за период ВЧ поля. Большой процент захвата электронов можно получить только в случае больших значений Δ_0 , близких к предельным по устойчивости $\Delta_0 \sim 3\pi/2$ [6]). Но при этом для получения усиления более 5 дБ при использовании режима с постоянным законом изменения параметра несинхронности необходимо брать очень большую длину автофазного участка. Полученный же оптимальный закон $b(x)$ позволяет заметно уменьшить эту длину.

На рис. 5 приведена зависимость электронного КПД η_e от безразмерной длины автофазной секции x для q_0 (1; 1,5; 2; 2,3) при значениях безразмерных параметров $C=0,02$; $F_0=1,5$; $b_0=-100,2$. Из этого рисунка видно, что электронный КПД η_e достигает значения порядка 97% (дальнейшее повышение КПД невозможно из-за появления остановок электронов, не учитываемых в приближенной теории, в отличие от строгой теории [3]). По мере увеличения начальной ширины сгустка q_0 такие значения η_e достигаются на большей длине автофазного участка x ; тем большей, чем больше начальная ширина захваченного сгустка ($2q_0$).

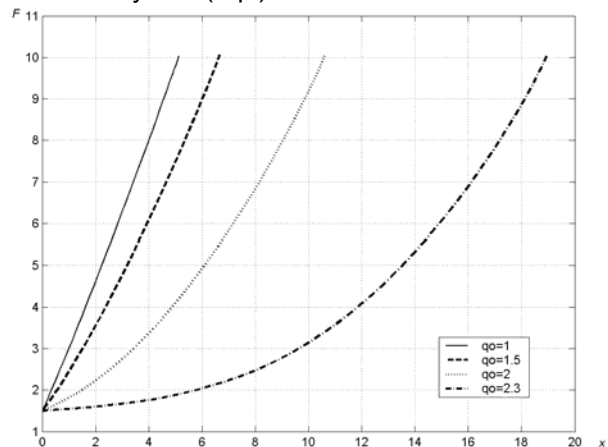


Рис. 4. График зависимости безразмерной амплитуды бегущей волны F от длины автофазного участка x для разных значений q_0 (1; 1,5; 2; 2,3) при параметрах $C=0,02$; $F_0=1,5$; $b_0=-100,2$

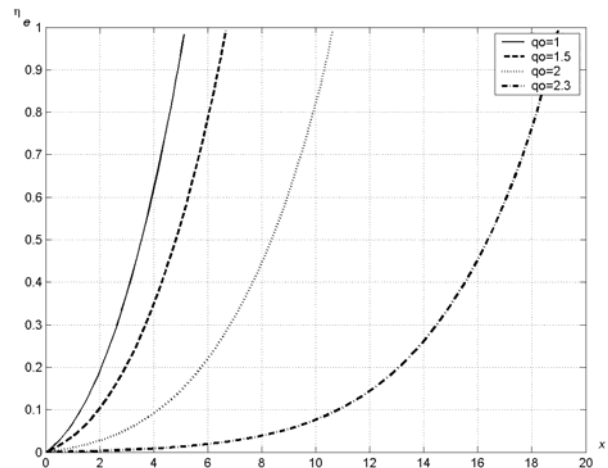


Рис. 5 Зависимость электронного КПД η_e от безразмерной длины x автофазной секции для значений q_0 (1; 1,5; 2; 2,3) при безразмерных параметрах $C=0,02$; $F_0=1,5$; $b_0=-100,2$

Выводы

1. При помощи решения вариационной задачи на базе приближенной аналитической нелинейной теории АЛБВ проведена оптимизация погонного усиления лампы профилированием

параметра несинхронности $b(x)$. Определен закон изменения $b(x)$, позволяющий сократить длину автофазного участка.

2. Показано, что оптимизация энергообмена осуществляется непрерывным смещением центра захваченного сгустка электронов в сторону максимума тормозящего ВЧ поля волны в ЗС с одновременным уменьшением его фазовой ширины (т.е. сжатием сгустка электронов).

3. Проведенные расчеты показали, что увеличение погонного усиления достигнуто с сохранением высоких значений [3] электронного КПД (близких к предельно возможным).

Литература

1. *Балачук Я.П.*, *Белявский Е.Д.*, *Грязнова Т.А.* Теория автофазных приборов О-типа с азимутально- несимметричной волной и большим фокусирующим полем // *Электроника и связь*. – 2005. – Т.26. – С. 9 – 12.
2. *Белявский Е.Д.*, *Пилипович С.М.*, *Теличкина О.В.* Улучшение группировки в АЛБВ-Н с большим фокусирующим полем // *Электроника и связь*. – 2007. – №5. – С. 30 – 32.
3. *Белявский Е.Д.*, *Пилипович С.М.* Автофазная ЛБВ-Н с переменной фазовой скоростью и соленоидальной фокусировкой со 100% захватом электронов // *Электроника и связь*. – 2008. – №1-2. – С. 116 – 118.
4. *Белявский Е.Д.* О режиме захвата электронных сгустков азимутальнонесимметричной волной в статическом магнитном поле. // *Известия ВУЗов “Радиофизика”*. – 1987. – Т.30. – №11. – С.1410 – 1412.
5. *Ландау Л.Д.*, *Лифшиц Е.М.* *Механика*. – М.: Наука. – 1965.
6. *Смирнов В.И.* *Курс высшей математики*. Т. 4. – М.: Гостехиздат. – 1953.